

Convex Optimization Homework #5

1700012751

麦景

Convex Optimization Homework #5

FYI

Problem #1

Problem #2

Problem #3 (a) & (b)

FYI

本次作业使用python完成, 并托管在[Github](#)上. 关于Python环境配置和所需安装包等, 请见[code/README.md](#).

测试算例的生成代码如下, 其形式与默认随机种子与给定的matlab代码完全一致, 但是由于matlab和python在相同随机数生成器下生成正态分布的方式可能不完全相同, 因此生成的测试算例可能不同. 接下来同样会测试在其他种子下的数值表现情况.

```
1  def gen_data(seed=97006855):
2      n, m, l = 512, 256, 2
3      mu = 1e-2
4      generator = random.Generator(random.MT19937(seed=seed))
5      A = generator.standard_normal(size=(m, n))
6      k = round(n * 0.1)
7      p = generator.permutation(n)[:k]
8      u = np.zeros(shape=(n, 1))
9      u[p, :] = generator.standard_normal(size=(k, 1)) # ground truth
10     b = np.matmul(A, u)
11     x0 = generator.standard_normal(size=(n, 1))
12     errfun = lambda x1, x2: norm(x1 - x2, 'fro') / (1 + norm(x1, 'fro'))
13     errfun_exact = lambda x: norm(x - u, 'fro') / (1 + norm(x, 'fro'))
14     sparsity = lambda x: np.sum(np.abs(x) > 1e-6 * np.max(np.abs(x))) / (n *
15     1)
16     return n, m, l, mu, A, b, u, x0, errfun, errfun_exact, sparsity
```

Problem #1

Solve (1.1) using CVX by calling different solvers `mosek` and `gurobi`.

我们在python中使用了 `cvxpy` 来调用CVX, 并分别设置了使用 `mosek` 和 `gurobi` 来求解题目的优化问题, 相关代码分别为 `gl_cvx_mosek.py` 和 `gl_cvx_gurobi.py`.

Problem #2

First write down an equivalent model of (1.1) which can be solved by calling mosek and gurobi directly, then implement the codes.

使用 mosek solver的代码在[gl_mosek.py](#)中. 对于 $\|A * x - b\|_2^2$, 我们可以把其写成rotated quadratic cone的形式. 不妨设 $A * x - b = z$ 和辅助变量 $t^{(1)} \in R$, 则 $(\frac{1}{2}, t^{(1)}, z)$ 构成一个rotated quadratic cone.

$$2 \times \frac{1}{2} \times t^{(1)} \geq \sum_{i,j} z_{i,j}^2 \quad (1)$$

其在 mosek 中可以写成如下形式:

```
1 z = Expr.sub(Expr.mul(A, x), b)
2 flatten_z = Expr.flatten(z)
3 M.constraint(Expr.vstack(0.5, t1, flatten_z), Domain.inRotatedQCone( ))
```

对于 $\|x\|_{1,2}$, 我们可以写成若干个quadratic cone的形式. 设辅助变量 $t^{(2)} \in R^n$, 则有

$$t_i^{(2)} \geq \sqrt{\sum_j x_{i,j}^2} \quad (2)$$

其核心代码为:

```
1 h = Expr.hstack(t2, x)
2 # If d=2, it means that each row of a matrix must belong to a cone.
3 M.constraint(h, Domain.inQCone( ))
```

使用 gurobi solver的代码在[gl_gurobi.py](#)中, 与 mosek 类似, 可写成:

```
1 with gp.Model('Gurobi', env=env) as M:
2     # The default lower bound is 0.
3     x = M.addMVar(shape=(n, 1), name='x', lb=-gp.GRB.INFINITY)
4     t2 = M.addMVar(shape=(n,), name='t2')
5     z = M.addMVar(shape=b.shape, name='z', lb=-gp.GRB.INFINITY)
6
7     cost = mu * t2.sum( )
8     for i in range(m):
9         cost += z[ i, : ] @ z[ i, : ] * 0.5
10    M.setObjective(cost)
11
12    M.addConstrs(z[ :, i ] + b[ :, i ] == A @ x[ :, i ] for i in range(1))
13    M.addConstrs(t2[ i ] @ t2[ i ] >= x[ i, : ] @ x[ i, : ] for i in
range(n))
14
15    M.optimize( )
```

目前以上四种方法在默认随机种子下的输出结果如下:

solver	cpu	iter	optval	sparsity	err-to-exact	err-to-cvx-mosek	err-to-cvx-gurobi
CVX-Mosek	0.31	-1	6.10377E-01	0.1201	4.02E-05	0.00E+00	3.33E-07
CVX-Gurobi	0.69	-1	6.10377E-01	0.1211	4.03E-05	3.33E-07	0.00E+00
Mosek	0.29	11	6.10377E-01	0.1201	4.03E-05	9.49E-08	2.79E-07
Gurobi	0.23	12	6.10378E-01	0.1182	4.01E-05	9.17E-07	9.85E-07

我们可以看到, 总体上看, Gurobi在运行时间, 稀疏程度和恢复效果上均占有一定的优势.

Problem #3 (a) & (b)

(a) Subgradient method for the primal problem.

(b) Gradient method for the smoothed primal problem.

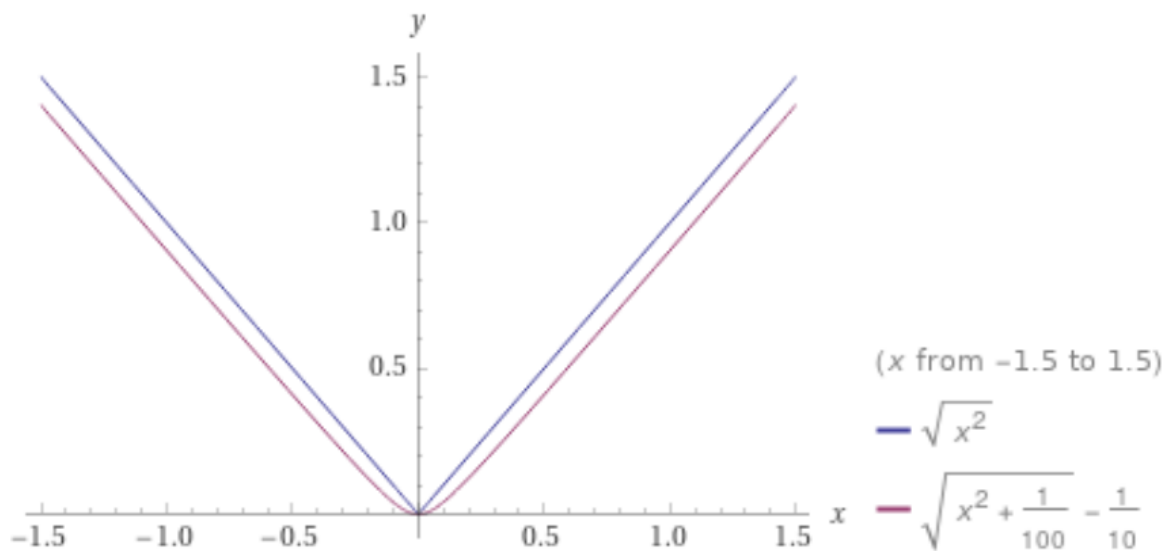
首先给出这两个问题的数学形式. 对于问题(a), 设目标函数为 $f(x) = \frac{1}{2} \|Ax - b\|_F^2 + \mu \|x\|_{1,2}$. 其中 $\|Ax - b\|_F^2$ 部分可导, 其次梯度为 $\partial \|Ax - b\|_F^2 = \{A^T(Ax - b)\}$. 对于 $\|x\|_{1,2}$ 我们分行考虑次梯度. 对于行向量 $x(i, 1:l)$ ($1 \leq i \leq n$) 的范数 $\|x(i, 1:l)\|_2$, 其在 $x(i, 1:l) = 0$ 处不可微, 经过计算我们可以求出在 $x(i, 1:l) = 0$ 时的次梯度, 即

$$\partial \|x(i, 1:l)\|_2 = \begin{cases} \frac{x(i, 1:l)}{\|x(i, 1:l)\|_2} & , \|x(i, 1:l)\|_2 \neq 0 \\ 0 & , \|x(i, 1:l)\|_2 = 0 \end{cases}$$

故

$$\partial f(x) = A^T(Ax - b) + \mu \begin{pmatrix} \partial \|x(1, 1:l)\|_2 \\ \partial \|x(2, 1:l)\|_2 \\ \dots \\ \partial \|x(n, 1:l)\|_2 \end{pmatrix} \quad (3)$$

对于问题(b), 我们重点考虑 $\|x\|_{1,2}$ 我们分行考虑后的行向量范数 $\|x(i, 1:l)\|_2$ ($1 \leq i \leq n$) 的平滑问题. 我们引入小参数 $\delta > 0$, 则 $\|x(i, 1:l)\|_2$ 可被平滑为 $\sqrt{\|x(i, 1:l)\|_2^2 + \delta^2} - \delta$, 其中当 δ 越小时, 平滑效果越不明显. 下图显示显示了 $\delta = 0.1$ 时的对 $y = \sqrt{x^2}$ 的平滑效果:



下面介绍将算法的细节.问题(a)的代码在[gl_SGD_primal.py](#)中. 这里传入的默认构造参数及其定义如下:

```
1 default_opts = {
2     "maxit": 2100,           # 内循环最大迭代次数
3     "thres": 1e-3,          # 判断小量是否被认为 0 的阈值
4     "step_type": "diminishing", # 步长衰减的类型 (见辅助函数)
5     "alpha0": 1e-3,         # 步长的初始值
6 }
```

这里使用了连续化次梯度策略, 重定义原问题的正则化系数为 μ_0 , 算法枚举了三个递减的正则化系数: $100\mu_0$, $10\mu_0$ 和 μ_0 . 外循环按照递减顺序枚举构造的正则化系数(不妨在循环内部设为 μ), 内循环默认运行 $maxit$ 次迭代.

```
1 for mu in [ 100 * mu_0, 10 * mu_0, mu_0 ]:
2     .....
3     inn_iter = 0
4     while inn_iter < maxit:
5         .....
```

按照之前分析的数学形式, 其目标函数和梯度的计算如下:

```
1 def obj_func(x: np.ndarray):
2     fro_term = 0.5 * np.sum((A @ x - b) ** 2)
3     regular_term = np.sum(LA.norm(x, axis=1).reshape(-1, 1))
4     return fro_term + mu * regular_term
5
6 def subgrad(x: np.ndarray):
7     fro_term_grad = A.T @ (A @ x - b)
8     regular_term_norm = LA.norm(x, axis=1).reshape(-1, 1)
9     regular_term_grad = x / ((regular_term_norm < thres) +
regular_term_norm)
10     grad = fro_term_grad + mu * regular_term_grad
11     return grad
```

关于步长的选择, 我们仅在连续化外层循环的最后一步使用步长衰减, 其余使用固定步长:

```

1     def set_step(step_type):
2         iter_hat = max(inn_iter, 1000) - 999
3         if step_type == 'fixed' or mu > mu_0:
4             return alpha0
5         elif step_type == 'diminishing':
6             return alpha0 / np.sqrt(iter_hat)
7         elif step_type == 'diminishing2':
8             return alpha0 / iter_hat
9         else:
10            logger.error("Unsupported type.")

```

在内循环内部, 我们使用次梯度法进行迭代; 同时, 对于绝对值小于给定阈值的分量, 我们直接设为0

```

1     for mu in [ 100 * mu_0, 10 * mu_0, mu_0 ]:
2         .....
3         inn_iter = 0
4         while inn_iter < maxit:
5             .....
6             inn_iter += 1
7             x[ np.abs(x) < thres ] = 0
8             sub_g = subgrad(x)
9             alpha = set_step(opts[ "step_type" ])
10            x = x - alpha * sub_g
11            .....

```

问题(b)的代码在[gl_GD_primal.py](#)中. 其默认参数为:

```

1     default_opts = {
2         "maxit": 2500,           # 最大迭代次数
3         "thres": 1e-3,          # 判断小量是否被认为 0 的阈值
4         "step_type": "diminishing", # 步长衰减的类型 (见辅助函数)
5         "alpha0": 1e-3,         # 步长的初始值
6         "delta": 1e-3,          # 光滑化参数
7     }

```

问题(b)的代码与问题(a)的类似, 与问题(a)的主要区别在于梯度的计算上:

```

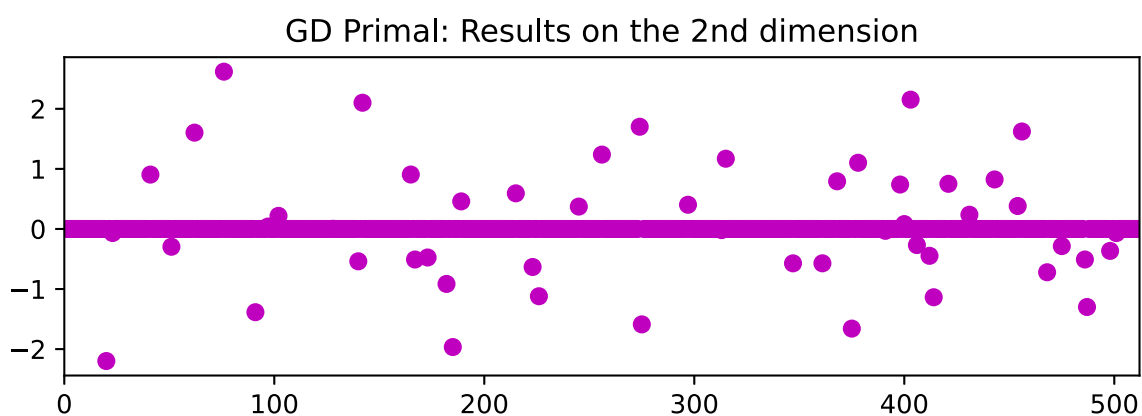
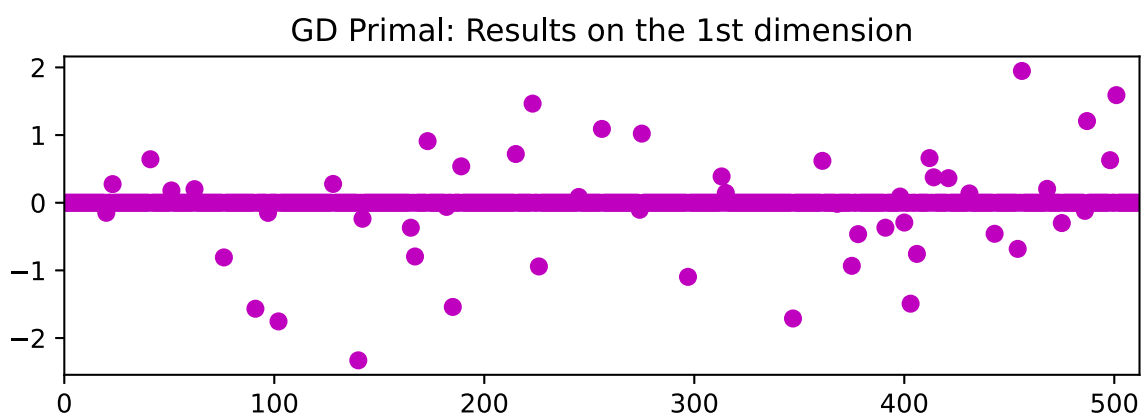
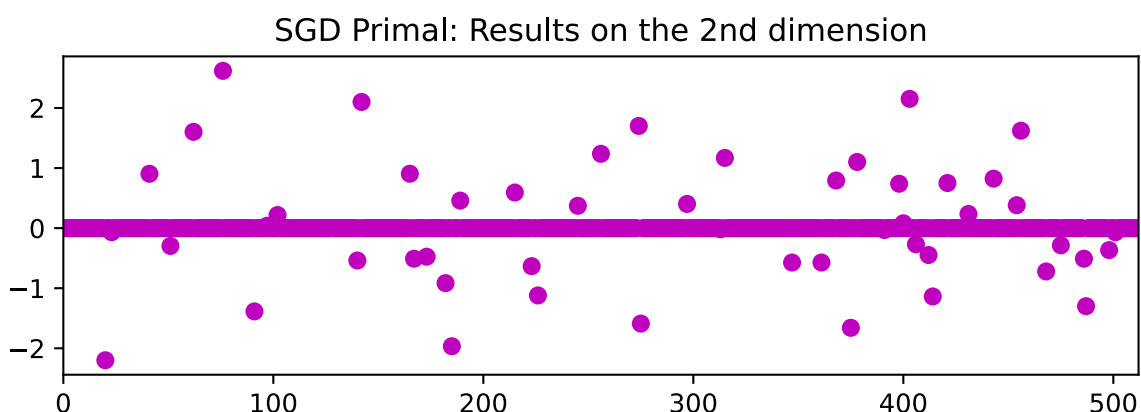
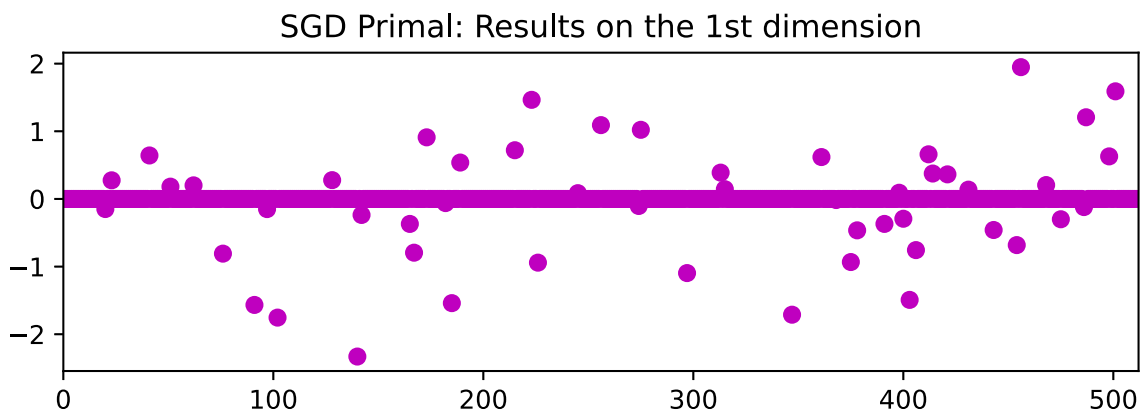
1     def subgrad(x: np.ndarray):
2         fro_term_grad = A.T @ (A @ x - b)
3         regular_term_grad = x / np.sqrt(np.sum(x ** 2,
4             axis=1).reshape(-1, 1) + delta * delta)
5         grad = fro_term_grad + mu * regular_term_grad
6         return grad

```

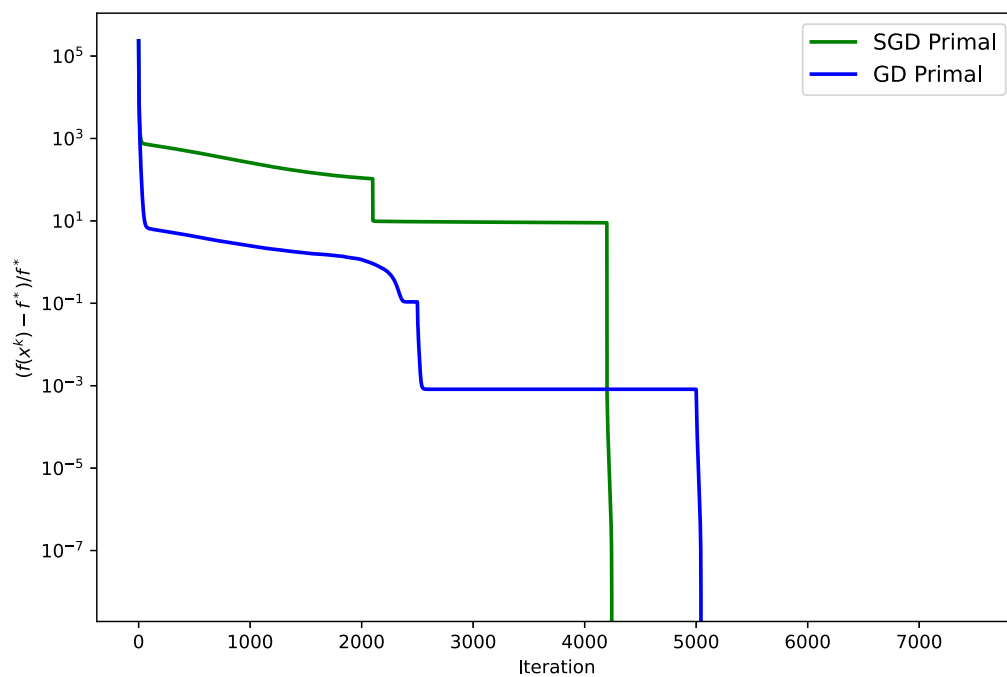
以下列出两种实现的统计数据. 在默认随机种子下, 相比于CVX mosek/gurobi, 其运行时间, 稀疏程度, 恢复效果, 迭代次数等如下. 其中运行时间约CVX-Gurobi的三倍, 最优函数值与CVX mosek/gurobi相当, 稀疏程度达到构造数据时期望的0.1, 甚至小于CVX mosek/gurobi的稀疏程度, 与CVX mosek/gurobi的恢复效果也相当接近.

solver	cpu	iter	optval	sparsity	err- to- exact	err-to- cvx- mosek	err-to- cvx- gurobi
CVX- Mosek	0.33	-1	6.10377E- 01	0.1201	4.02E- 05	0.00E+00	3.33E-07
CVX- Gurobi	0.71	-1	6.10377E- 01	0.1211	4.03E- 05	3.33E-07	0.00E+00
SGD Primal	2.08	6300	6.10378E- 01	0.0996	3.79E- 05	4.30E-06	4.43E-06
GD Primal	2.44	7500	6.10378E- 01	0.0996	3.79E- 05	4.31E-06	4.44E-06

SGD Primal和GD Primal的结果与ground truth u 的比较如下. 我们可以看到, 基本上绝大部分的ground truth的分量都可以还原.



下图是分别是SGD Primal和GD Primal的 $(f(x^k) - f^*)/f^*$ 随iteration变化的曲线, 其中 $f^* = f(u)$. 这里垂直的线出现的原因是由于目标函数中的正则项的存在, ground truth u 不一定最小化目标函数, 因此 $f(x^k) - f^*$ 可能为负数. 这也从侧面说明, 我们的实现如果仅关注此目标函数下, 可以得到比原问题得到的函数值更小的解.



为说明算法在其他种子下的表现情况, 使用其他随机种子 $seed = 114514$, 其得到的结果如下: 我们可以看到算法在其他种子下表现稳定.

solver	cpu	iter	optval	sparsity	err-to-exact	err-to-cvx-mosek	err-to-cvx-gurobi
CVX-Mosek	0.33	-1	6.19068E-01	0.1064	4.03E-05	0.00E+00	8.48E-07
CVX-Gurobi	0.70	-1	6.19068E-01	0.1064	4.10E-05	8.48E-07	0.00E+00
SGD Primal	2.09	6300	6.19068E-01	0.0996	3.97E-05	1.21E-06	1.84E-06
GD Primal	2.43	7500	6.19068E-01	0.0996	3.97E-05	1.21E-06	1.84E-06